

エントロピー最大化による土地利用分布モデル

徳島大学 正員 青山吉隆
徳島大学 ○学員 大谷博

§1 はじめに 近年、人口および産業の急激な都市集中のために、都市部の土地の絶対量が不足し、各種機能の混在化、地価の高騰、住宅難、スプロール化等、多くの深刻な都市問題を抱え込み、極めて不適正な土地利用が生じている。これに対し、今日、住民意識の高まりとともに、行政主体に対して抜本的かつ合理的な土地利用計画の立案が望まれている。最適な土地利用計画を作成するその初期の段階でインプットされなければいけないデーターは将来の土地利用像である。本研究はこの将来の土地利用像を予測する簡単なモデルとしてエントロピー最大化による土地利用分布モデルを提案し、その予測精度を求め、将来の土地利用計画策定に役立たんとするものである。

§2 エントロピー最大化による土地利用分布モデル 本研究はゾーン別用途別床面積を予測対象とし、現況及び将来の土地利用像を土地利用表(表-1)で表示する。Tを X_{ij} に配分する場合の数(同時確率)が多項分布式に従うとして S_1 を定義する。

$$S_1 = \frac{T!}{\prod_i X_{ij}} \prod_j (P_{ij})^{X_{ij}} \quad (1)$$

ここに、 P_{ij} は先驗確率であり、 $P_{ij} = \frac{U_i \cdot V_j}{T^2}$ 、 $\sum_j P_{ij} = 1$ (2)
(1)式を最大にするように X_{ij} を決定することが目的であるが本研究では X_{ij} の持つ効用 C_{ij} を考え、(6)式で求められる総効用 C を最大にするよう(X_{ij} を決定することを加えてtrade-off)ラグランジエ関数 L を仮定

$$L = S_1 \cdot C^{1-a} \rightarrow \max \quad (3)$$

$$\log S_1 = a \log S_1 + (1-a) \log C \rightarrow \max \quad (3')$$

を新たに目的関数とし、制約条件として

$$U_i = \sum_j X_{ij} \quad (4)$$

$$V_j = \sum_i X_{ij} \quad (5)$$

を定義する。ここで、 $C = \sum_j C_{ij} X_{ij} = \sum_j X_{ij} \sum_i w_{ij} Z_{ie}$ (6)

Z_e はTを X_{ij} に配分する場合の決定要因であり、ポテンシャルやマクセントリ等などが考えられる。 w_{ij} はパラメータである。(4)式、(5)式の条件の下で S_1 を最大にするため次のラグランジエ関数 L の極値を求める。

$$L(X_{ij}, \alpha_i, \beta_j) = a \left\{ - \sum_j (X_{ij} \log X_{ij} - X_{ij}) + \sum_j X_{ij} P_{ij} \right\} + (1-a) \log \sum_j C_{ij} X_{ij} + \sum_i \alpha_i (\sum_j X_{ij} - U_i) + \sum_j \beta_j (\sum_i X_{ij} - V_j) \quad (7)$$

$$\frac{\partial L}{\partial X_{ij}} = 0, \frac{\partial L}{\partial \alpha_i} = 0, \frac{\partial L}{\partial \beta_j} = 0 \quad (7)$$

$$X_{ij} = T P_{ij} \lambda_i \mu_j \exp(\sum_i w_{ij} Z_{ie}) \quad (8)$$

$$\lambda_i = U_i / T \sum_j P_{ij} \mu_j \exp(\sum_i w_{ij} Z_{ie}) \quad (9)$$

表-1 土地利用表

ZONE	1	...	j	...	m	計
1	X_{11}		X_{1j}		X_{1m}	U_1
i	X_{i1}		X_{ij}		X_{im}	U_i
n	X_{n1}		X_{nj}		X_{nm}	U_n
計	V_1		V_j		V_m	T

X : ゾーン i 用途 j の床面積

U : ゾーン i の総床面積

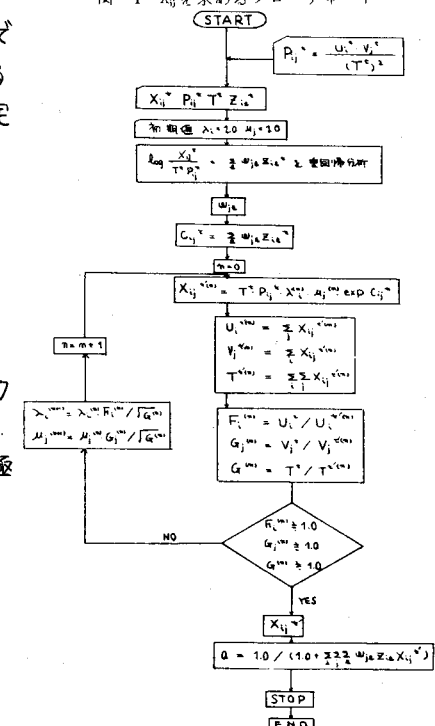
V : 用途 j の総床面積

T : 総床面積

n : ゾーン数

m : 用途数

図-1 X_{ij} を求めるフローチャート



$$M_j = V_j / T \cdot P_j \lambda_i \exp(\omega_{j,i} Z_{i,j}) \quad (10)$$

$$(8) \text{式より } \log \frac{X_{ij}}{T \cdot P_j} = \log \lambda_i + \log M_j + \sum \omega_{j,i} Z_{i,j} \quad (8')$$

(8'), (9), (10)式を用いて将来の X_{ij} を求めるフローチャートを図-1に示す。

§3 モデルの適用

§2で述べたエントロピー最大化による土地利用分布モデルを大阪市22区5用途 昭和45年～49年の床面積に適用した。大阪市のゾーニングは

表-2 用途分類

用途分類	内容
用途1(住宅)	住宅
用途2(商業)	商店、喫茶店、電気、モーター販賣店、飲食店、問屋、卸売市場
用途3(工業)	工場
用途4(事務所)	官公署、某特施設、教育研究施設、文化施設、赤字施設、医療施設、住居施設
用途5(その他)	交通的駅行、供給施設、貯蔵、公園施設、工場構内

は(8)式に重回帰分析を行なって得られたパラメータの値を表わしたものである。(8)式から分かるように $\omega_{j,i}$ の値は正ならじ用途にとて $\omega_{j,i}$ 用途は誘引しやすく反対に負なら誘引しにくいことを表わしている。例えば用途住宅について考察すると住宅地に立地しない用途の一一番が工業になっている。これは大阪市は住宅地に中小の工場が現在していることを考慮すれば納得できる。このように表-3は大阪市における5用途間の関係を表わしている。図-2, 3, 4は用途住宅、商業、工業のゾーン別効用 C_j を図化したものである。それぞれ、その用途にとての効用が

正であるゾーンが現況の土地利用表においてその用途の床面積の大きいゾーンに良く一致し、負であるゾーンがその用途の床面積の小さいゾーンに一致していい結果が得られた。図-5はレゾーン j 用途の床面積 X_{ij} の実測値を縦軸にモデルによる推定値を横軸にとりプロットしたものである。両者の相関が完全相関であれば原点を通る45°線上に全ての点が乗る。図-5を見るとプロットした点が45°線周囲に分布し相関係数も非常に高い結果が得られた。以上により本研究で提案したモデルが分布モデルとして十分な機能を備えていることが分かった。

§4 結び 本研究において各用途の効用を求める要因としてすべて5用途のポテンシャルを用いて一応有意な結果を得たのであるが、今後の課題として決定要因の選択収集を行なうことを探査したい。例えば工業の効用を求める場合には港までの距離とかインターチェンジまでの時間距離を要因として付与した方がより良い結果が得られるだろうと思われる。現在以上を考慮し本モデルを横浜市に適用中である。

表-3 $\omega_{j,i}$ の値

用途	住宅	商業	工業	事務所	その他
住宅	0.192	-37.149	42.868	-14.091	4.906
商業	-7.588	61.387	-51.827	33.115	-23.556
工業	8.048	-64.570	34.105	-25.995	22.021
事務所	-5.118	64.752	-66.970	31.180	-19.566
その他	2.097	-7.463	0.588	1.133	-4.571

図-2 住宅の効用

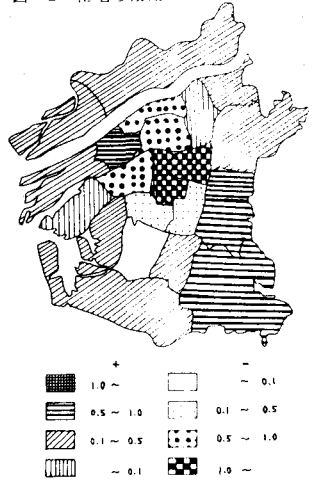


図-3 商業の効用

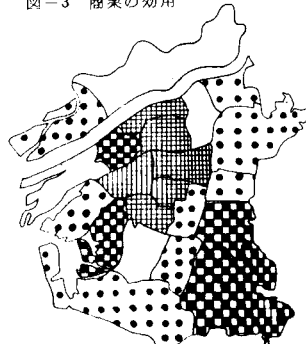


図-4 工業の効用

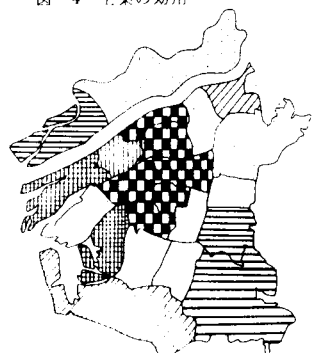


図-5 X_{ij} の実測値と推定値の関係
実測値 取束後 相関係数 = 0.9746

